



## دانشکده‌ی مهندسی عمران

پایان‌نامه برای دریافت درجه‌ی کارشناسی ارشد  
در رشته‌ی مهندسی عمران گرایش سازه

### عنوان :

بررسی رفتار لرزه‌ای اتصالات خمی تیر به ستون با مقطع کاوش یافته دارای  
ورق‌های استوانه نیم شده

اساتید راهنما:

دکتر مرتضی نقی پور

دکتر یدالله باطبی مطلق

استاد مشاور:

دکتر سید باقر حسینیان

نام دانشجو:

وحید صدیقی

زمستان ۱۳۹۳

## تشکر و قدردانی

شکر شایان نشار ایزد منان که توفیق را رفیق راهم ساخت تا این پایان نامه را به اتمام برسانم. اینک قبل از هر چیز بر خود لازم می دانم از زحمات بی شائبه اساتید گرانقدر جناب آقای دکتر نقی پور و جناب آقای دکتر باطبوی مطلق که استادان راهنمای و مشوق اینجانب در انجام پایان نامه بوده اند و هم چنین افتخار کسب فیض در محضر درس ایشان را داشته ام صمیمانه تشکر و قدردانی نمایم. دانش، توجه، همفکری و همیاری این بزرگواران پشتوانه اصلی اینجانب در انجام مراحل این پایان نامه بوده است.

همچنین از جناب آقای دکتر حسینیان که در تمام مراحل این پژوهش بنده را یاری کرده و از تجارب ارزنده شان بهره مند ساختند بسیار سپاسگزارم.

در پایان نیز وظیفه خود می دانم که از پدر و مادر و خانواده عزیزم که با حمایت دلسوزانه‌ی خود بهترین مشوق من بوده اند تشکر و قدردانی نمایم. شاید جبران گوشه‌ای از زحماتشان باشد.

## چکیده

پس از وقوع زلزله نورثریج (Northridge) در ۱۷ ژانویه سال ۱۹۹۴ قاب‌های خمشی بسیاری، از ناحیه اتصال دچار شکست ترد (Brittle fracture) شدند. این زلزله باعث ویرایش مجدد آیین‌نامه‌های طراحی لرزه‌ای سازه‌های فلزی شد. آیین نامه ۲۸۰۰ ایران نیز در سال ۱۳۷۶ مجدداً ویرایش شد و در آن لزوم استفاده از سیستم‌های شکل‌پذیر (Ductile) تاکید گردید. برای تأمین شکل‌پذیری و جلوگیری از ایجاد شکست ترد در اتصالات، تغییرات زیادی در نحوه اجرای اتصالات سازه‌ای فولادی پیشنهاد گردید.

یکی از اتصالاتی که بعد از زلزله نورثریج بسیار مورد بررسی قرار گرفت، اتصال مقاوم خمشی نرم شده موسوم به RBS (Reduced Beam Section) می‌باشد. در این اتصال با کاهش سطح مقطع بال تیر در نزدیکی اتصال تیر به ستون، مقطع بحرانی از مجاورت ستون به محل مقطع کاهش یافته منتقل می‌شود و کاهش سطح مقطع به صورت یک فیوز محافظ برای اتصال عمل می‌کند. اتصالات RBS علیرغم مزایای فراوان، دارای نواقص و کاستی‌هایی همچون مقاومت کم در برابر کمانش جانبی-پیچشی و کمانش‌های موضعی بال و جان می‌باشند که باعث ایجاد محدودیت در استفاده از این اتصال می‌گردند. به همین دلیل اتصال AWRBS با بکارگیری جان موجدار در جهت رفع این کاستی‌ها و با تفکر تضعیف تیر مورد توجه قرار گرفت. در این تحقیق با توجه به رفتار اتصالات AWRBS، استفاده از لوله (با مقاطع استاندارد موجود در اشتال) به جای جان صاف تیر و با تفکر بهبود رفتار این اتصالات مورد بررسی قرار گرفت. این بررسی‌ها با شبیه سازی اتصال پیشنهادی در نرم افزار اجزای محدود ABAQUS تحت بارگذاری چرخه‌ای صورت گرفته است. نتایج نشان می‌دهد که اتصال مورد بحث توانایی دور کردن و انتقال مفصل پلاستیک از محل اتصال به ناحیه تضعیف شده را دارد. همچنین منحنی رفتار هیسترزیس نشان میدهد که نمونه‌ها قابلیت تحمل حداقل  $60^{\circ}$  رادیان چرخش بدون افت مقاومت قابل ملاحظه را دارا می‌باشند در حالی که صلاحیت برای استفاده از اتصالات مقاوم خمشی در قاب‌های خمشی ویژه حداقل  $40^{\circ}$  رادیان می‌باشد. علاوه بر این اتصال مذکور رشد مفصل پلاستیک را نسبت به اتصالات AWRBS به تاخیر انداخته و مفصل پلاستیک پایدارتری را نتیجه می‌دهد.

کلمات کلیدی : اتصال RBS، لوله، بارگذاری چرخه‌ای، مفصل پلاستیک، رفتار هیسترزیس

## فهرست مطالب

۱	فصل اول : مقدمه
۲	۱-۱- مقدمه
۲	۲-۱- فلسفه شکل پذیری و طراحی لرزه ای اتصالات
۴	۳-۱- قاب های مقاوم خمشی فولادی (MRF)
۵	۴-۱- اتصالات در زلزله نورثربیج
۶	۴-۲- بررسی اتصالات متعارف آسیب دیده در زلزله نورثربیج
۹	۴-۳- اشکالات ایجاد کننده شکست ترد در اتصال متعارف
۱۲	۴-۴- ۱- راهکارهای ارائه شده جهت اصلاح اتصالات رایج
۱۴	۴-۴- ۲- روش تحقیق
۱۶	۴-۴- ۳- اهداف تحقیق
۱۶	۴-۴- ۴- طرح کلی تحقیق
۱۸	فصل دوم: کلیاتی درباره اتصالات
۱۹	۱-۱- انواع اتصالات و قاب های سازه ای
۱۹	۱-۱-۱- اتصالات صلب (گیردار)
۱۹	۱-۱-۲- اتصالات ساده (مفصل)
۲۰	۱-۱-۳- اتصالات نیمه صلب (پاره گیردار)
۲۲	۱-۲- مفهوم درجه گیرداری اتصال
۲۴	۱-۲-۱- منحنی لنگر - دوران ( $M-\theta$ ) اتصالات
۲۶	۱-۲-۲- مفهوم خط تیر
۲۸	۱-۲-۳- اتصال با مقطع کاوش یافته
۲۸	۱-۲-۴- اتصال RBS
۳۱	۱-۲-۵-۱- مزایای استفاده از اتصالات RBS
۳۲	۱-۲-۵-۲- تعریف پارامترهای اتصال RBS
۳۴	۱-۲-۵-۳- اتصال با جان شکافته

۳۵.....	۲-۵-۳- اتصال با کاهش جان تیر (RWS)
۳۷.....	۲-۵-۴- اتصال AW-RBS
۳۷.....	۲-۴-۵-۱- تیر های فولادی با جان موجدار
۳۸.....	۲-۴-۵-۲- استفاده از جان موجدار در اتصالات خمی
۴۰ .....	۲-۶-۶- مروری بر مطالعات انجام شده
۴۰ .....	۲-۶-۱- بررسی اثر پارامتر های موثر بر عملکرد اتصالات استخوانی
۴۱.....	۲-۶-۲- بررسی اثر چشمۀ اتصال و نوع اتصال جان تیر به ستون در اتصال RBS
۴۳.....	۲-۶-۳- رفتار اتصالات RBS بزرگ اندازه‌ی ساخته شده از فولاد مقاومت بالا
۴۴.....	۲-۶-۴- بررسی اثرات لاغری بال و جان تیر اتصال کاهش یافته
۴۶.....	۲-۶-۵- اتصال جدید مرکب کاهش یافته
۴۸.....	۲-۶-۶- اتصال با جان کاهش یافته
۵۰ .....	۲-۶-۷- بررسی استفاده از ورق موجدار در جان تیر
۵۱.....	۲-۶-۸- بررسی آزمایشگاهی اتصال AW-RBS
۵۳.....	۲-۶-۹- استفاده از اتصال AW-RBS در تیرهای با مقاطع دوبل
۵۴.....	۲-۷- نتیجه گیری
۵۵.....	<b>فصل سوم: معرفی مدل‌ها و نحوه مدلسازی</b>
۵۶.....	۳-۱- مقدمه
۵۶.....	۳-۲- مقدمه‌ای کوتاه درباره ABAQUS
۵۶.....	۳-۲-۱- اصول اولیه نرم افزار ABAQUS
۵۷.....	۳-۲-۲- ماذول‌ها در ABAQUS
۵۹.....	۳-۳- طراحی اتصال RBS و AW-RBS
۶۳.....	۳-۴- ساخت مدل
۶۳.....	۳-۴-۱- تعیین خصوصیات مواد و اختصاص آنها به اجزا مدل
۶۴.....	۳-۴-۲- شرایط مرزی و بارگذاری
۶۶.....	۳-۴-۳- المان‌ها و مش‌بندی
۶۷.....	۳-۵- روابط و تعریف متغیرها
۶۷.....	۳-۶- مشخصات اتصالات مدل شده در ABAQUS
۷۲.....	<b>فصل چهارم: بررسی رفتار اتصالات مدل شده</b>
۷۳.....	۴-۱- مقدمه

۷۳.....	۲-۴-بررسی صحت مدلسازی
۷۴.....	۳-۴-رفتار چرخه ای نمونه های مدل شده
۹۱.....	۴-بررسی تاثیر فاصله محل قرارگیری لوله از بر ستون
۹۴.....	۴-۵- مقایسه رفتار مفصل پلاستیک در اتصال با لوله و نبشی
۹۸.....	فصل پنجم : نتیجه گیری و پیشنهادات
۹۹.....	۱-۵-نتیجه گیری
۱۰۱.....	۲-۵-پیشنهاد برای تحقیقات آتی
۱۰۲.....	مراجع

## فهرست شکل ها

شکل ۱-۱ حلقه های زنجیره پائولی.....	۳
شکل ۲-۱ اتصال خمثی رایج قبل از زلزله نورثیریج.....	۵
شکل ۳-۱ ناحیه شروع خرابی در اتصالات تیر به ستون.....	۷
شکل ۴-۱ شکستگی های گره تیر به ستون.....	۷
شکل ۵-۱ شکست های ستون.....	۸
شکل ۶-۱ شکست قائم در طول ورق برشی.....	۸
شکل ۷-۱ نمونه هایی از اتصالات پس از زلزله نورثیریج.....	۱۳
شکل ۸-۱ انواع زیر سازه های قابل ساخت در آزمایشگاه و قابل مدلسازی در نرم افزار.....	۱۵
شکل ۹-۱ دو نمونه متفاوت زیر سازه ساخته شده در آزمایشگاه.....	۱۵
شکل ۱۰ دو نوع اتصال ساده اجرایی.....	۲۰
شکل ۱۱ اتصال با نبضی های فوقانی و نشمنی.....	۲۱
شکل ۱۲ اتصال نیمه صلب با نبضی نشمنی و ورق فوقانی.....	۲۱
شکل ۱۳ فرضیات شرایط تکیه گاهی.....	۲۲
شکل ۱۴ منحنی لنگر دوران برای برخی از اتصالات پر کاربرد .....	۲۴
شکل ۱۵ نمودار لنگر - چرخش سه نوع اتصال.....	۲۵
شکل ۱۶ لنگر-دوران برای معادلات شیب و افت (جهت مثبت لنگر ها) .....	۲۶
شکل ۱۷ منحنی لنگر-دوران و خطوط تیر.....	۲۸
شکل ۱۸ اتصال RBS با برش دایره ای.....	۲۹
شکل ۱۹ اتصال RBS با برش دایره ای.....	۳۰
شکل ۲۰ انواع اتصال RBS .....	۳۰
شکل ۲۱ هندسه اتصال RBS با برش شعاعی.....	۳۲
شکل ۲۲ اتصال با جان شکافته با جوش تیر به ستون.....	۳۵

شکل ۱۳-۲ اتصال با جان شکافته با ورق های فوقانی و تحتانی	۳۵
شکل ۱۴-۲ اتصال کاهش یافته با برش گوه ای در جان تیر	۳۶
شکل ۱۵-۲ پیکر بندی اتصال AW-RBS با ستون قوطی	۳۹
شکل ۱۶-۲ مشخصات کلی نمونه ها	۴۰
شکل ۱۷-۲ منحنی هیسترزیس برای اثر نوع اتصال جان تیر به بال ستون	۴۲
شکل ۱۸-۲ مقایسه اثر چشمی اتصال در ایجاد کمانش جانبی-پیچشی	۴۳
شکل ۱۹-۲ جزئیات نمونه های آزمایشی چن و تو	۴۴
شکل ۲۰-۲ رفتار هیسترزیس نمونه های آزمایش شده توسط چن و تو	۴۴
شکل ۲۱-۲ منحنی لنگر-دوران نمونه های مدلسازی شده	۴۶
شکل ۲۲-۲ پیکره بندی اتصال مرکب پیشنهادی	۴۷
شکل ۲۳-۲ رفتار هیسترزیس مدل های اتصال مرکب پیشنهادی	۴۷
شکل ۲۴-۲ اتصال با جان کاهش یافته با ایجاد فضای بازشو در جان	۴۹
شکل ۲۵-۲ مدل اجزا محدود اتصال پیشنهادی هدایت و سیلیکاگ	۴۹
شکل ۲۶-۲ توزیع کرنش پلاستیک اتصال پیشنهادی هدایت و سیلیکاگ	۴۹
شکل ۲۷-۲ اتصال RBS نوین پیشنهادی ایمان پور و همکاران	۵۰
شکل ۲۸-۲ کانتور تنش حاصل از آنالیز نرم افزار ABAQUS	۵۱
شکل ۲۹-۲ پیکره بندی اتصال AW-RBS پیشنهادی میر قادری و همکاران	۵۲
شکل ۳۰-۲ رفتار چرخه ای نمونه های آزمایشگاهی	۵۳
شکل ۱-۳ شماتیک مراحل آنالیز در نرم افزار ABAQUS	۵۶
شکل ۲-۳ نیروهای موجود در محل مفصل پلاستیک برای محاسبه برش	۶۰
شکل ۳-۳ نحوه انتقال ممان از مفصل پلاستیک به ستون	۶۱
شکل ۴-۳ دیاگرام تنش-کرنش مفروض برای مدلها	۶۴
شکل ۵-۳ شرایط مرزی نمونه های مدل شده	۶۵
شکل ۶-۳ نمودار تاریخچه بارگذاری طبق الگوی استاندارد پیشنهاد شده توسط آیین نامه AISC	۶۵
شکل ۷-۳ نمونه ای از مش بندی مدل ها	۶۶

.....	شکل ۱۳-۳ اتصال مدل ۱	۶۸
.....	شکل ۹-۳ اتصال مدل ۲	۶۸
.....	شکل ۱۰-۳ اتصال مدل ۳	۶۸
.....	شکل ۱۱-۳ اتصال مدل ۴	۶۹
.....	شکل ۱۲-۳ اتصال مدل ۵ تا ۹ و ۱۶ تا ۱۹	۶۹
.....	شکل ۱۰-۳ اتصال مدل ۱۰ تا ۱۴	۷۰
.....	شکل ۱۴-۳ اتصال مدل ۱۵	۷۰
.....	شکل ۱۵-۳ اتصال مدل ۲۰	۷۰

.....	شکل ۱۴-۱ منحنی هیسترزیس مدل میرقادری و نتایج حاصل از ABAQUS	۷۴
.....	شکل ۲-۴ نمودار لنگر - زاویه تغییر مکان نسبی طبقه مدل ۱	۷۵
.....	شکل ۳-۴ توزیع تنش فون میسز مدل ۱ در زاویه تغییر مکان طبقه ۰/۰۴ رادیان	۷۵
.....	شکل ۴-۴ نمودار لنگر - زاویه تغییر مکان نسبی طبقه مدل ۲	۷۶
.....	شکل ۴-۵ توزیع تنش فون میسز مدل ۲ در زاویه تغییر مکان طبقه ۰/۰۴ رادیان	۷۶
.....	شکل ۴-۶ نمودار لنگر - زاویه تغییر مکان نسبی طبقه مدل ۳	۷۷
.....	شکل ۴-۷ توزیع تنش فون میسز مدل ۳ در زاویه تغییر مکان طبقه ۰/۰۴ رادیان	۷۷
.....	شکل ۴-۸ نمودار لنگر - زاویه تغییر مکان نسبی طبقه مدل ۴	۷۸
.....	شکل ۴-۹ توزیع تنش فون میسز مدل ۴ در زاویه تغییر مکان طبقه ۰/۰۴ رادیان	۷۸
.....	شکل ۴-۱۰ نمودار لنگر - زاویه تغییر مکان نسبی طبقه مدل ۵	۷۹
.....	شکل ۴-۱۱ توزیع تنش فون میسز مدل ۵ در زاویه تغییر مکان طبقه ۰/۰۴ رادیان	۸۰
.....	شکل ۴-۱۲ نمودار لنگر - زاویه تغییر مکان نسبی طبقه مدل ۶	۸۰
.....	شکل ۴-۱۳ توزیع تنش فون میسز مدل ۶ در زاویه تغییر مکان طبقه ۰/۰۴ رادیان	۸۱
.....	شکل ۴-۱۴ نمودار لنگر - زاویه تغییر مکان نسبی طبقه مدل ۷	۸۱
.....	شکل ۴-۱۵ توزیع تنش فون میسز مدل ۷ در زاویه تغییر مکان طبقه ۰/۰۴ رادیان	۸۲
.....	شکل ۴-۱۶ نمودار لنگر - زاویه تغییر مکان نسبی طبقه مدل ۸	۸۲
.....	شکل ۴-۱۷ توزیع تنش فون میسز مدل ۸ در زاویه تغییر مکان طبقه ۰/۰۴ رادیان	۸۳
.....	شکل ۴-۱۸ توزیع تنش فون میسز مدل ۹ در زاویه تغییر مکان طبقه ۰/۰۴ رادیان	۸۴

شکل ۱۹-۴ نمودار لنگر – زاویه تغییر مکان نسبی طبقه مدل ۱۰.....	۸۵
شکل ۲۰-۴ توزیع تنش فون میسز مدل ۱۰ در زاویه تغییر مکان طبقه ۴ ۰/۰ رادیان.....	۸۵
شکل ۲۱-۴ نمودار لنگر – زاویه تغییر مکان نسبی طبقه مدل ۱۱.....	۸۶
شکل ۲۲-۴ توزیع تنش فون میسز مدل ۱۱ در زاویه تغییر مکان طبقه ۴ ۰/۰ رادیان.....	۸۶
شکل ۲۳-۴ نمودار لنگر – زاویه تغییر مکان نسبی طبقه مدل ۱۲.....	۸۷
شکل ۲۴-۴ توزیع تنش فون میسز مدل ۱۲ در زاویه تغییر مکان طبقه ۴ ۰/۰ رادیان.....	۸۷
شکل ۲۵-۴ نمودار لنگر – زاویه تغییر مکان نسبی طبقه مدل ۱۳.....	۸۸
شکل ۲۶-۴ توزیع تنش فون میسز مدل ۱۳ در زاویه تغییر مکان طبقه ۴ ۰/۰ رادیان.....	۸۸
شکل ۲۷-۴ نمودار لنگر – زاویه تغییر مکان نسبی طبقه مدل ۱۴.....	۸۹
شکل ۲۸-۴ توزیع تنش فون میسز مدل ۱۴ در زاویه تغییر مکان طبقه ۴ ۰/۰ رادیان.....	۸۹
شکل ۲۹-۴ توزیع تنش فون میسز مدل ۱۵ در زاویه تغییر مکان طبقه ۴ ۰/۰ رادیان.....	۹۰
شکل ۳۰-۴ نمودار لنگر – زاویه تغییر مکان نسبی طبقه مدل ها با تغییر پارامتر a.....	۹۳
شکل ۳۱-۴ پروفیل طولی کرنش محوری در ناحیه تضییف شده تیر با نبشی.....	۹۵
شکل ۳۲-۴ پروفیل طولی کرنش محوری در ناحیه تضییف شده تیر با لوله.....	۹۵
شکل ۳۳-۴ پروفیل قائم کرنش محوری در ناحیه تضییف شده تیر با نبشی.....	۹۶
شکل ۳۴-۴ پروفیل قائم کرنش محوری در ناحیه تضییف شده تیر با لوله.....	۹۶
شکل ۳۵-۴ کرنش پلاستیک فون میسز در اتصال کاهش یافته با نبشی.....	۹۷
شکل ۳۶-۴ کرنش پلاستیک فون میسز در اتصال کاهش یافته با لوله.....	۹۷

## فهرست جدول ها

جدول ۱-۲ مقایسه‌ی هزینه‌ی نسبی اتصالات خمشی.....	۳۲
جدول ۲-۱ مشخصات نمونه‌های آزمایش اثر نوع اتصال در تحقیق لی و همکاران.....	۴۱
جدول ۲-۲ مشخصات نمونه‌های آزمایش اثر چشمۀ اتصال در تحقیق لی و همکاران.....	۴۱
جدول ۲-۳ مشخصات نمونه‌های آزمایش اثر مدل‌سازی شده.....	۴۵
جدول ۳-۱ مقادیر مفروض تنش و کرنش برای فولاد ST37.....	۶۳
جدول ۳-۲ مشخصات نمونه‌ها.....	۷۱
جدول ۳-۳ مقادیر مختلف برای پارامتر $a$ ورق موج‌دار.....	۷۱
جدول ۴-۱ خلاصه نتایج حاصل از آنالیز مدل‌ها.....	۹۱
جدول ۴-۲ مقادیر لنگر خمشی نمونه‌ها با تغییر پارامتر $a$ .....	۹۲

## **فصل اول : مقدمه**

**۱-۱- مقدمه**

از دیدگاه سازه‌ای، عبارت طراحی به مجموعه‌ای از قواعد علم ساخت و ساز اطلاق می‌گردد که هدف آن به وجود آوردن سازه‌ای می‌باشد که از نظر شکل و بعد، خواسته‌های مربوط به کارآیی، پایایی و زیبایی را به طور همزمان و در طی یک طرح، برآورده سازد. هدف اصلی طراحی سازه، ساخت سازه‌ای است که در آن نه تنها هزینه‌های اولیه ساخت در نظر گرفته می‌شود، بلکه هزینه‌های مربوط به نگهداری، تخریب و زوال‌های احتمالی نیز به همراه مزایای سازه‌ای ایجاد شده لحاظ می‌گردد. از این‌رو طراحی بهینه‌ی سازه احتیاج به فهم صحیح از کلیه قوانین حاکم بر موارد فوق دارد.

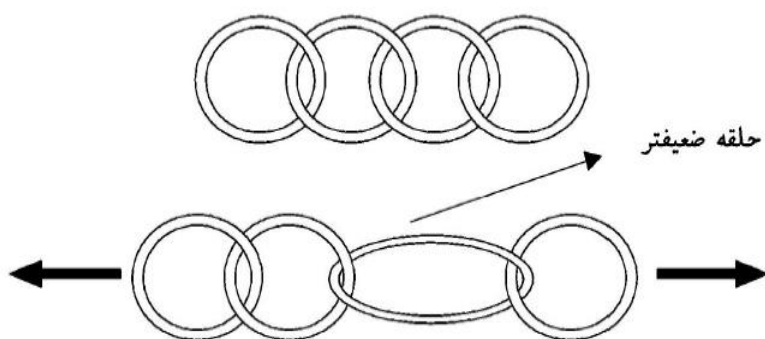
اهداف ذکر شده برای طراحی سازه‌ها در برابر عواملی مانند بارهای زنده، مرده و برف با دشواری کمتری قابل حصول هستند، در حالی که برای طراحی سازه در برابر عوامل دیگری مانند گردبادها، سیل و زلزله با دشواری حاصل می‌گردد. منشأ این دشواری، ماهیت به شدت احتمالاتی این پدیده‌ها و نیز وابسته بودن رفتار سازه به شدت و نوع این بارها می‌باشد. تاکنون در میان این عوامل، زلزله عامل ۶۰٪ از تلفات جانی ناشی از حوادث طبیعی پیش‌بینی نشده، بوده است [۱]. بنابراین طراحی مناسب سازه در مقابل زلزله و ارائه روشی مشخص برای اطمینان از عملکرد سازه در حین زلزله از اهمیت خاصی برخوردار است.

**۲-۱- فلسفه شکل پذیری و طراحی لرزه‌ای اتصالات**

به طور کلی رویکرد مهندسی به طراحی جنبه کمی داشته و اعضاء سازه‌ای باید به گونه‌ای انتخاب و جزئیات بندی شوند که در مقابل تلاش‌های حاصل از کلیه عوامل از جمله زلزله، پاسخگو باشند. اما طراحی برای بزرگترین نیروهای قابل تصور که از بزرگترین زلزله‌ی پیش‌بینی شده برای یک ساختگاه حاصل می‌گردد، غیرمنطقی بوده و از نظر اقتصادی نیز قابل قبول نمی‌باشد. بنابراین طراحی برای سطح پایین تری از نیروها صورت می‌گیرد. پس منطقی است که نقاطی از سازه در مقابل تلاش‌های ایجاد شده ناشی از نیروی زلزله، متحمل آسیب‌های موضعی مانند رسیدن به حد کمانش و یا جاری شدن شوند. اما ذکر این نکته حائز اهمیت است که در یک طرح مناسب لرزه‌ای، سازه ضمن تحمل آسیب‌های موضعی ایجاد شده، از

پایداری و یکپارچگی کلی برخوردار باشد. دنبال کردن این روش به طراحی لرزه ای سازه ها می انجامد. در این روش، سازه به گونه ای تحلیل و طراحی می گردد که نقاط پیش بینی شده برای تحمل آسیب های موضعی، قسمت اعظم انرژی لرزه ای وارد شده به سازه را جذب نموده و خود قادر باشند تغییر شکل های خمیری را بدون کاهش قابل ملاحظه ای در مقاومت تحمل نمایند، و در این حال، دیگر اعضای سازه نیز در محدوده تقریباً الاستیک باقی بمانند. توانایی تحمل تغییر شکل های خمیری بدون کاهش قابل ملاحظه در مقاومت، نشانگر شکل پذیری اعضای سازه و معیاری برای تعیین رفتار مناسب سازه طی زلزله های شدید می باشد.

پروفسور پاولی اهل نیوزلند که یکی از بزرگان طراحی لرزه ای در دنیا بوده است و ابداع روش ظرفیتی در طرح سازه ها<sup>۱</sup> را به او نسبت می دهنند، سازه را همانند چند حلقه زنجیر به هم متصل مانند شکل (۱-۱) مثال می زند و اعتقاد دارد که در طراحی لرزه ای حتماً لازم است تا یکی از این حلقه ها به عمد ضعیفتر تناسب دهی شود تا در زلزله حتماً وارد ناحیه غیرخطی شود و باعث اتلاف انرژی زلزله گردد [۱]. برای اینکار لازم است دو کار انجام گیرد:



شکل ۱-۱ حلقه های زنجیره پائولی

- (۱) جزئیات بندی در ناحیه ضعیفتر به گونه ای باشد که در تغییر شکل های بزرگ دچار ناپایداری و زوال نشود.
- (۲) بقیه حلقه های زنجیر به گونه ای طراحی شوند که دارای چنان مقاومتی باشند که با رسیدن حلقه شکل پذیر به حد مقاومتش هم چنان در ناحیه الاستیک باقی بمانند.

با پذیرفتن اینکه بعضی از اجزای سازه به صورت شکل پذیر عمل کنند ( حلقه شکل پذیر )، در حقیقت مقادیری خرابی در سازه پذیرفته شده است که البته این خرابی ها نباید منجر به فرو ریزش سازه شود. بدین ترتیب این ایده پس از مطرح شدن به شدت از سوی دانشمندان و مهندسان دیگر کشورها مورد استقبال قرار گرفت و به طور مستقیم وارد آیین نامه ها شد.

### ۱-۳- قاب های مقاوم خمشی فولادی (MRF<sup>۱</sup>)

قاب مقاوم خمشی فولادی، سیستمی می باشد که اتصالات بین تیر و ستون آن بگونه ای طراحی می شوند که انرژی زیادی تلف نمایند و کمک اساسی به شکل پذیری سیستم کنند. ساختمان های با قاب مقاوم خمشی فولادی نیز، به گونه ای طراحی می شوند که بتوانند در برابر لرزش زمین، با فرض انجام تغییر شکل های پلاستیک بزرگ، مقاومت کنند و زوال مقاومت خمشی نداشته باشند. تغییر شکل های پلاستیک شامل دوران پلاستیک در تیرها و در ناحیه اتصال تیر به ستون می باشد که باید قادر به اتلاف انرژی زلزله که به سازه وارد می شود، باشند. خسارات سازه ای نیز باید بصورت جاری شدن و کمانش موضعی اعضای سازه و نه از طریق شکست ترد اتصال و اعضاء سازه باشند.

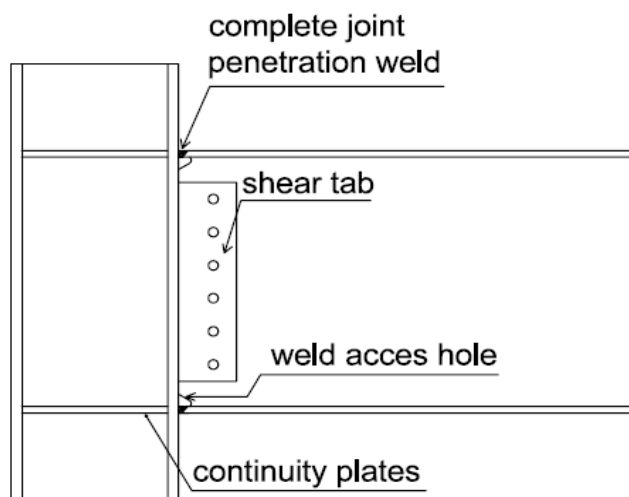
بر اساس همین اصل، آیین نامه های طراحی اجازه می دهند که قابهای خمشی فولادی، با مقاومتی کمتر از مقاومت حد الاستیک خود در مقابل زلزله های طرح، طراحی شوند. فرض اساسی در قاب های مقاوم خمشی فولادی این است که شکل پذیری این سیستمها از طریق جاری شدن ناحیه اتصال تیر به ستون تأمین شود. جاری شدن این ناحیه ممکن است از طریق بوجود آمدن مفصل پلاستیک در تیرها ( یا در ستون ها که مطلوب نمی باشد ) و یا از طریق جاری شدن برشی<sup>۲</sup> ناحیه چشمی اتصال تیر به ستون و یا ترکیبی از حالات فوق اتفاق بیافتد.

۱-Moment Resistance Frames

۲- Shear Yielding

## ۱-۴-اتصالات در زلزله نورثریج<sup>۱</sup>

از اوایل سال ۱۹۶۰ میلادی مهندسین شروع به استفاده از ساختمان های فلزی قاب خمشی جوشی کردند که در آیین نامه ها به عنوان شکل پذیرترین سیستم سازه ای مطرح می شد. اتصالات در سازه های قاب خمشی نقش عضو باربر جانبی نیروی زلزله را ایفا می کند. پیش از زلزله ۱۹۹۴ نورثریج مهندسین بر این باور بودند که اتصالات خمشی متعارف بکار برد شده در سازه های فلزی قاب خمشی مطابق شکل (۱-۲) دارای این قابلیت هستند که دوران پلاستیک بزرگی تا میزان ۲۰٪ رادیان و یا بیشتر را تحمل کنند، بدون اینکه کاهش چشم گیری در میزان مقاومت آنها حاصل شود. حتی بسیاری از آنها تصور می کردند که ساختمان های فلزی قاب خمشی در برابر زلزله آسیب ناپذیر هستند و احیاناً در صورت وجود آسیب و خرابی، این خرابی تنها محدود به جاری شدن اعضا و اتصالات (که شکل پذیر فرض می شدند) می شود و فروریزش در برابر بارهای ناشی از زلزله غیرممکن تصور می شد. با این باور، تعداد زیادی از سازه های صنعتی، تجاری و آموزشی به خصوص در غرب آمریکا با استفاده از این سیستم باربر لرزه ای جانبی طراحی و ساخته شدند.



شكل-۲ اتصال خمشی رایج قبل از زلزله نورثریج [۲]

زلزله ای که در ۱۷ ژانویه سال ۱۹۹۴ در امریکا رخ داد، این باور مهندسین را به چالش ودادشت و برای مهندسین آشکار شد که اتصالات قاب خمشی فولادی به آن اندازه ای که تصور می شد شکل پذیر نیستند.

ساختمانهای آسیب دیده، دامنه بسیار وسیعی از یک طبقه تا ۲۶ طبقه و ساختمان‌های با عمر حدود ۳۰ سال تا در سازه‌های در حال ساخت را شامل می‌شد.

این ساختمان‌های آسیب دیده در ناحیه جغرافیایی وسیعی پخش شده بودند و حتی شامل مناطقی که سطح زلزله متوسطی را تجربه کرده بودند نیز می‌شد. مشاهدات عینی نشان داد که تعداد زیادی از این خرابی‌ها در سازه‌های مختلف، مشابه هستند. از اینجا بود که مهندسین به دلایل اینگونه خرابی‌ها در ساختمان‌ها، در زلزله‌های گذشته که تا آن زمان برایشان نامعلوم بود، پی بردن. تحقیقات بعدی نشان داد برخی آسیب‌هایی که به ساختمان‌ها در زلزله‌های سال ۱۹۹۲ لندرز<sup>۱</sup>، سال ۱۹۹۲ بیگ بیر<sup>۲</sup> و ۱۹۸۹ لوما پریتا<sup>۳</sup> وارد آمده بود نیز شامل همین نوع خرابی‌ها بودند. اساساً، ساختمان‌های قاب خمشی فولادی آسیب دیده در زلزله نورث‌ریچ آنچنان که پیش بینی می‌شد رفتار نکرده بودند و ضررهای اقتصادی زیادی ناشی از خرابی اتصالات بوجود آمد. این در حالی بود که خیلی از این ساختمان‌ها زلزله‌ای کمتر از زلزله طرح را تجربه کرده بودند. این ضررهای اقتصادی شامل هزینه‌های مستقیم مربوط به بررسی و تعمیر خرابی‌ها و هزینه‌های غیر مستقیم شامل از دادن موقت یا طولانی مدت فضاهای ساختمانی آسیب دیده بود [۲].

#### ۱-۴-۱-بررسی اتصالات متعارف آسیب دیده در زلزله نورث‌ریچ

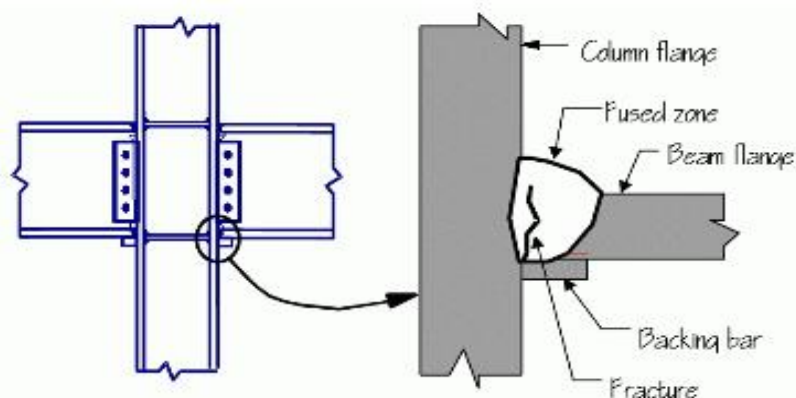
مشاهداتی که از خسارت ساختمان‌ها در زلزله ۱۹۹۴ نورث‌ریچ صورت پذیرفت، نشان داد که در بسیاری از موارد، پیش از آغاز رفتار مورد بحث، شکستگی ترد در مقادیر بسیار کم تغییر شکل پلاستیک اتصال آغاز می‌شود و حتی در برخی موارد، در زمانی که سازه هنوز در مرحله الاستیک داشت، این مسئله رخداده است. عموماً و البته نه همیشه، شکستگی از محل جوش اتصال بال پایینی تیر به ستون به وجود آمده که یک جوش نفوذی کامل می‌باشد (شکل ۱-۳). در بعضی موارد، شکست در تمام ضخامت جوش گسترش یافته بود و هنگامی که سطح محافظ آتش برداشته شد شکست‌ها بصورت ترک در جوش یا فلز پشت آن

۱-Landers

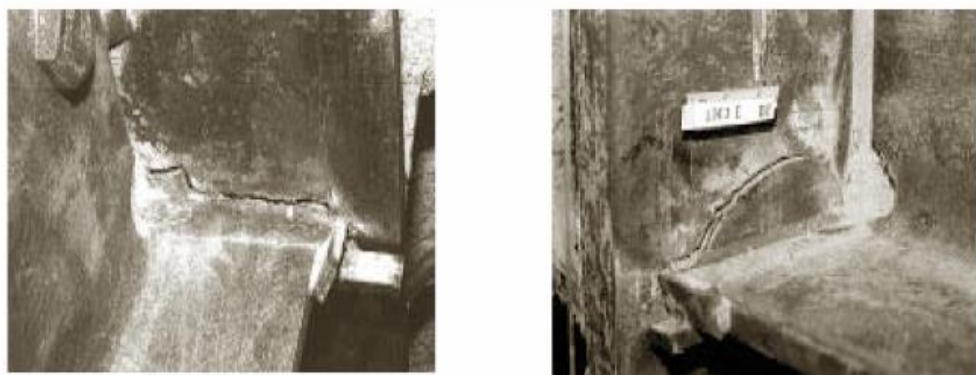
۲-Big Bear

۳-Loma Prieta

مشاهده شد. در بعضی موارد، شکست تا بال ستون پشت جوش پیش رفته بود (شکل ۱-۴). در این موارد به غیر از قسمتی از بال ستون که توسط مقید شده بود، قسمت بالاتر به بیرون کشیده شده بود . این الگوی شکست بعداً به شکست nugget یا divot معروف شد. پس از ایجاد شکستگی در این قسمت، نحوه حرکت ترک در نمونه های مختلف، متفاوت بوده است و با شروع آن بسته به شرایط خاص گره، شکست در مسیرهای مختلفی پیش روی کرده بود. هنگامی که این شکست ها به وجود می آیند، اتصال تیر به ستون، افت سختی و افت مقاومت خمشی زیادی پیدا کرده و نمی تواند در برابر بارهایی که تمایل به باز کردن ترک ها دارند، مقاومت کنند [۲].



شکل ۱-۳ ناحیه شروع خرابی در اتصالات تیر به ستون [۲]



شکل ۱-۴ شکستگی های گره تیر به ستون [۲]



شکل ۱-۵ شکست های ستون [۲]

تعدادی از شکست ها کاملاً در بال ستون پیش روی کرده بودند که این شکست در طول صفحه ای افقی نزدیک به بال پایین تر گسترش یافته بود (شکل ۱-۴). در بعضی موارد حتی این شکست به جان ستون و چشممه اتصال هم راه یافته بود (شکل ۱-۵). گزارش هایی مبنی بر اینکه برخی ستون ها کاملاً از مقطع عرضی شکسته بودند نیز وجود دارد. هنگامی که این شکست ها بوجود می آیند، اتصال تیر به ستون افت سختی و مقاومت خمشی زیادی پیدا کرده و نمی تواند در برابر بارهای که تمایل به باز کردن ترک ها دارند مقاومت کند. بدین ترتیب سختی و مقاومت خمشی باقی مانده تنها توسط زوج نیرو یی شامل نیروهای منتقل شده از اتصال بال بالایی و پیچ هایی جان تامین می گردد. اما، در فراهم کردن این سختی و مقاومت باقی مانده، پیچ های جان نیز در معرض شکست قرار می گیرند. این شکست ها شامل شکست جوش های ورق برشی به ستون مطابق شکل (۱-۶) و شکست جوش های کمکی به جان تیر یا شکست در مقطع ضعیف ورق برشی در ردیف سوراخ های پیچ های می باشد [۲].



شکل ۱-۶ شکست قائم در طول ورق برشی [۲]

## ۱-۴-۲- اشکالات ایجاد کننده شکست ترد در اتصال متعارف

بعد از زلزله نورثریج، در ابتدا موسسه‌هایی مثل AISC و AWS مسئولیت بررسی علل این خسارات را بر عهده گرفتند. ولی در سپتامبر ۱۹۹۴ کمیته‌ای ویژه به نام SAC تشکیل گردید که متشکل بود از سه گروه:

(۱) انجمن مهندسین سازه کالیفرنیا<sup>۱</sup> (SEAOC)

(۲) شورای تکنولوژی کاربردی<sup>۲</sup> (ATC)

(۳) بخش تحقیقات مهندسی زلزله دانشگاه‌های کالیفرنیا<sup>۳</sup> (CUREE)

این گروه وظیفه بررسی علل خسارت و پیشنهاد راه حلی برای بهبود رفتار اتصالات را برعهده داشت. در این میان FEMA<sup>۴</sup> نیز آمادگی خود را برای انجام مطالعات اعلام نمود.

عمده مسیر تحقیقات، کشف علل شکست اتصالات و ارائه راهکارهای موثر جهت به دست آوردن اتصالاتی مقاوم در برابر زلزله بود. در بررسی های به عمل آمده مشخص گردید که در بسیاری از موارد شکست ترد اتصالات، در محدوده زیر حد خمیری مقاطع اتفاق افتاده و بیشتر در حالتی رخ داده اند که مقاطع فولادی قاب ساختمانی هنوز در حد الاستیک باقی مانده است و این امر تجدید نظر جدی در روند طراحی اتصالات و تدوین آیین نامه های جدید را ضروری می نمود. بررسی ها همچنین نشان دادند که اغلب آسیب ها در ناحیه اتصال (جوش نفوذی بال تیر به بال ستون) رخ داده که به تدریج به سمت بال و جان ستون گسترش یافته اند و دلیل آنرا وجود تنش های برشی عمودی در بال تیر عنوان کرده اند که با تمرکز خود، منجر به شکست اتصال می گردند. به طور کلی خرابی های ناشی از زلزله نورثریج منشا تحولات و نگرشی جدید در طراحی اتصالات گردید. در حالی که اغلب عقیده بر آن بود که عدم مهارت کافی در

۱-Structural Engineering Association

۲- Applied Technology council

۳- California Universities for Research in Earthquake Engineering

۴- Federal Emergency Management Agency